



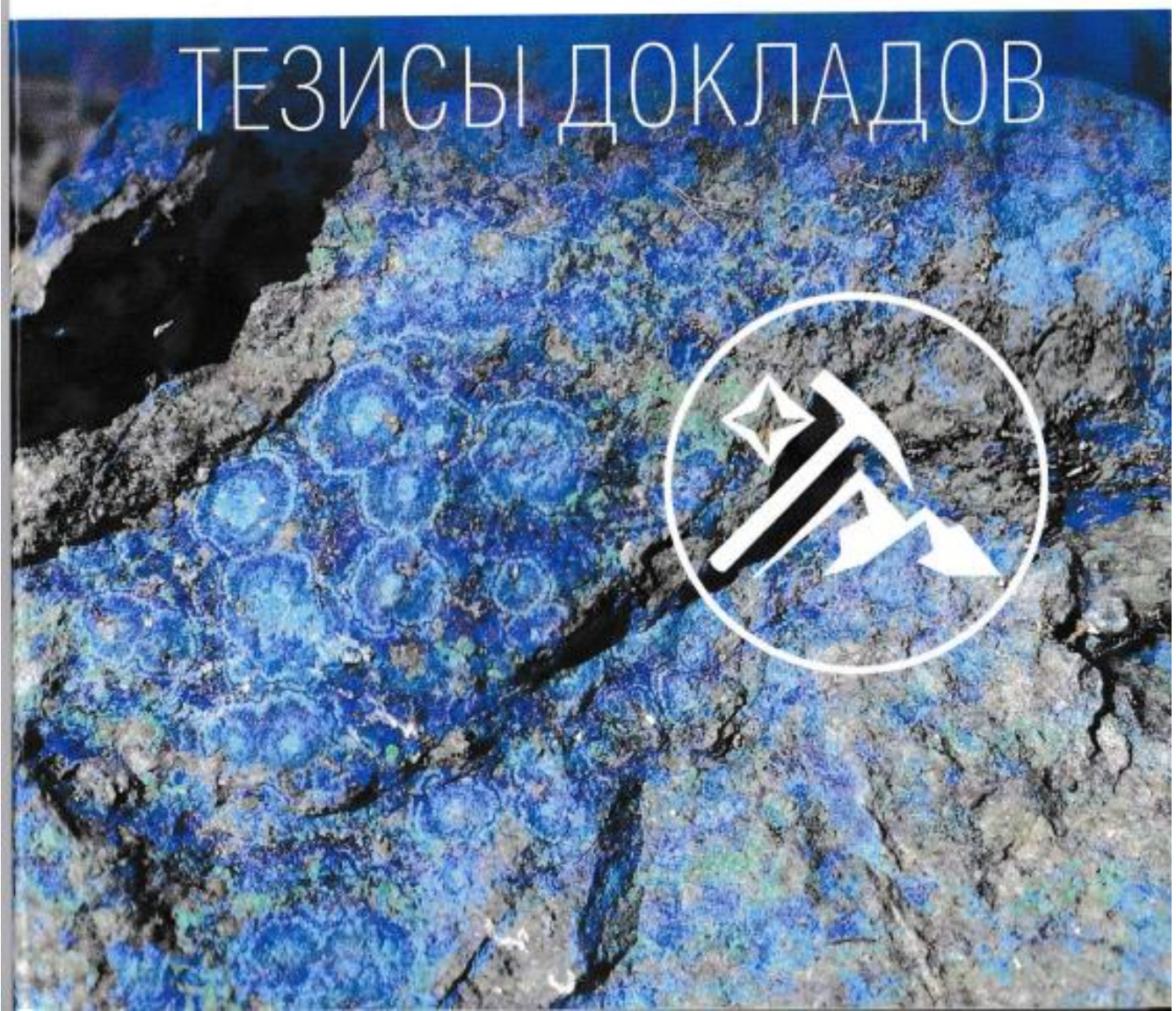
ЦНИГРИ

МОСКВА 2021

II Молодежная научно-образовательная конференция

**МИНЕРАЛЬНО-СЫРЬЕВАЯ БАЗА АЛМАЗОВ,
БЛАГОРОДНЫХ И ЦВЕТНЫХ МЕТАЛЛОВ –
ОТ ПРОГНОЗА К ДОБЫЧЕ**

ТЕЗИСЫ ДОКЛАДОВ



- Immobilization by Dolomite, Calcined Dolomite, and Magnesium Oxide // Minerals. – 2020. – V. 10, № 9. – P. 763.
- 8. Пушкирева Г.И., Коваленко К.А. Очистка природных и техногенных вод от мышьяка // Горный информационно-аналитический бюллетень. – 2012. – № 9. – С. 294–298.
 - 9. Huang H. M. [et al.]. Removal of ammonium from rare-earth wastewater using natural brucite as a magnesium source of struvite precipitation // Water science and technology. – 2011. – V. 63, № 3. – P. 468–474.
 - 10. Masindi V. Remediation of acid mine drainage using magnesite and its bentonite clay composite: Ph.D. thesis. – University of Venda, 2015.
 - 11. Schiller J. E., Khalafalla S. E. Magnesium oxide for improved heavy metals removal // Trans. Soc. Min. Eng. AIME. – 1984. – P. 276.
 - 12. Schiller J. E., Tallman D. N., Khalafalla S. E. Mineral processing water treatment using magnesium oxide // Environmental progress. – 1984. – V. 3, № 2. – P. 136–141.
 - 13. Venkateswarlu P. [et al.]. Investigations on the removal of fluoride from water: factors governing the adsorptions of fluoride by magnesium oxide // Indian Journal of Medical Research. – 1954. – V. 42, № 1. – P. 135–140.
 - 14. Choi H. [et al.]. Magnesium oxide impregnated polyurethane to remove high levels of manganese cations from water // Separation and Purification Technology. – 2014. – V. 136. – P. 184–189.
 - 15. Madzokere T. C., Karthigeyan A. Heavy metal ion effluent discharge containment using magnesium oxide (MgO) nanoparticles // Materials Today: Proceedings. – 2017. – V. 4, № 1. – P. 9–18.

До М.Ф.^{1,2}, Игнатов П.А¹, Фан Т.Х.,^{1,2} (¹ФГБОУ ВО «МГРИ» им. Серго Орджоникидзе, ²Вьетнамский геофизический отдел, г. Ханой, Вьетнам, ³Горно-геологический университет, г. Ханой, Вьетнам)

ЭПИСКАРНОВАЯ Cu-U-Au МИНЕРАЛИЗАЦИЯ РАЙОНА КОН РА В ЦЕНТРАЛЬНОМ ВЬЕТНАМЕ

Проявление Cu-U-Au минерализации обнаружено в пределах 25 км² в районе Кон Ра Центрального Вьетнама. Концентрации этих элементов, достигающие уровней бедных и рядовых руд, локализованы вдоль юго-западного крутопадающего разлома (рис. 1). В районе исследования преимущественно распространены кварцево-слюдяные сланцы, мраморы, биотитовые и амфиболовые гнейсы и амфиболиты позднепротерозой-

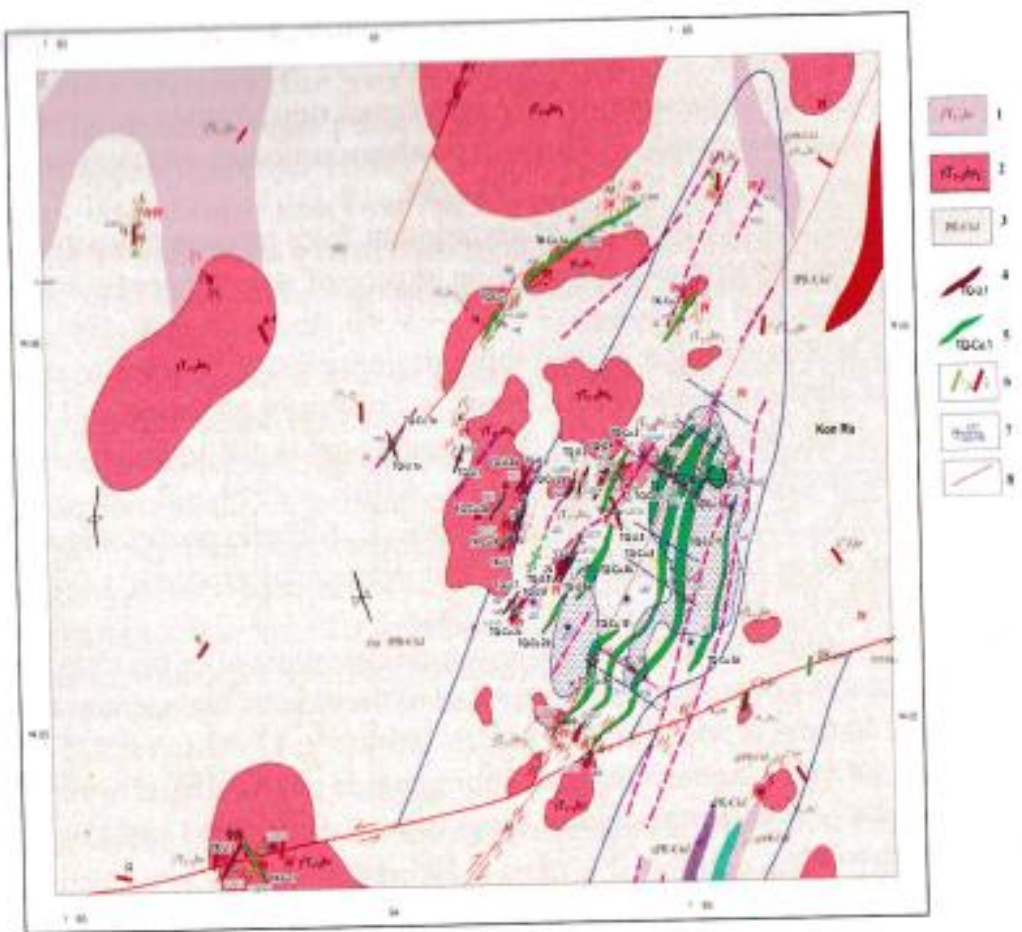


Рис. 1. Геологическая карта района 1:10 000 Кон Ра, по [1]:
 1 – ранняя фаза комплекса Хай Ван; 2 – вторая фаза комплекса Хай Ван; 3 – комплекс Хамдык; 4 – ураноносные зоны; 5 – рудоносные зоны меди; 6 – дайки; 7 – устья скважин; 8 – разломы

ско-кембрийского комплекса Хамдык (PR-*Ckf*), прорванные биотитовыми и двуслюдянными гранитами триасового комплекса Хай Ван. ($\gamma\Gamma_{1-2} - hv$). Кроме того, в районе встречаются дайки основного и кислого составов, в том числе аплитовых гранитов, жилы пегматитов и кварца [1–4].

Результаты гамма-спектрометрии показывают, что в рудах в районе Кон Ра имеются высокие концентрации урана и тория (таблица). Анализ 42 рудных образцов показал, что содержание U колеблется от 0,007 до 4,41 %, в среднем 0,57 % (коэффициент вариации 153,64 %), что соответствует промышленным концентрациям. Содержание Th варьирует от 0,001 до 0,32 %, в среднем 0,06 % (коэффициент вариации 131,46 %). Среднее уран-ториевое отношение составило 9,49 [3].

По результатам аэрогамма-спектрометрии в районе Кон Ра выявлена субмеридиональная урановая аномалия с содержаниями урана бо-

Результаты гамма-спектрометрии 42 образцов, по [3]

Параметры	U, %	U_3O_8 , %	Th, %	U/Th
Среднее	0,57	0,67	0,06	9,49
Стандартное отклонение	0,87	1,02	0,08	
Минимальное	0,007	0,008	0,001	
Максимальное	4,41	5,20	0,32	
Количество проб	42	42	42	
Коэффициент вариации V, %	153,64	153,64	131,46	

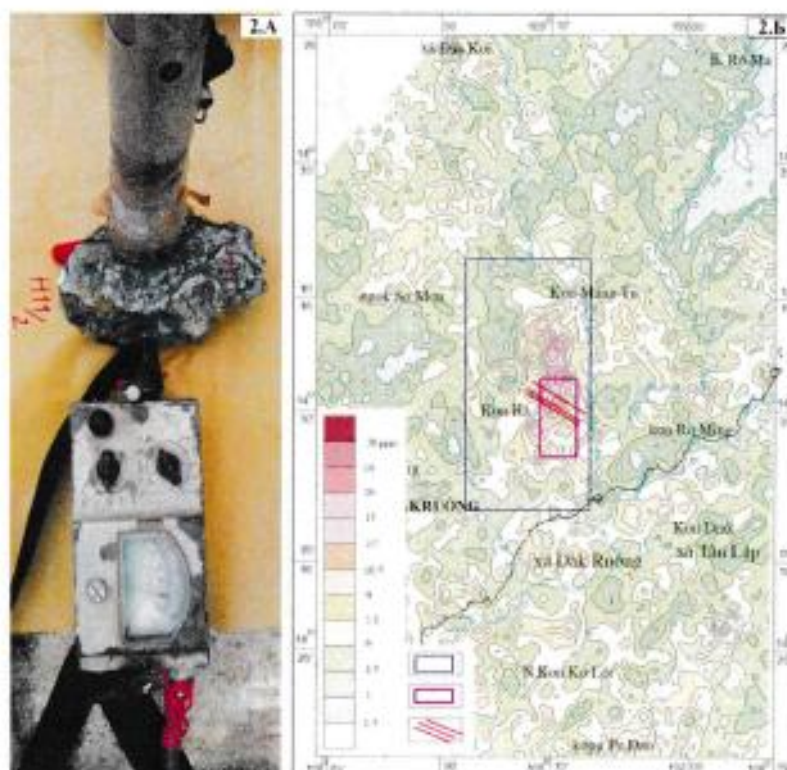


Рис. 2. А – мощность экспозиционной дозы излучения образца, взятого в канаве КР Н11 / 2 в районе Кон Ра, превышающая 3000 мкР/ ч.; Б – карта распределения содержания урана по данным аэрогамма-спектрометрии в районе Кон Ра

лее 9 ppm (рис. 2, Б). Она имеет эллиптическую форму и практически совпадает с блоками гранитов комплекса Хай Ван.

По результатам аэроработ и радиометрического опробования выявлено семь радиоактивных аномальных зон, которые часто сопровождаются сульфидной минерализацией и концентрируются в зонах катакла-

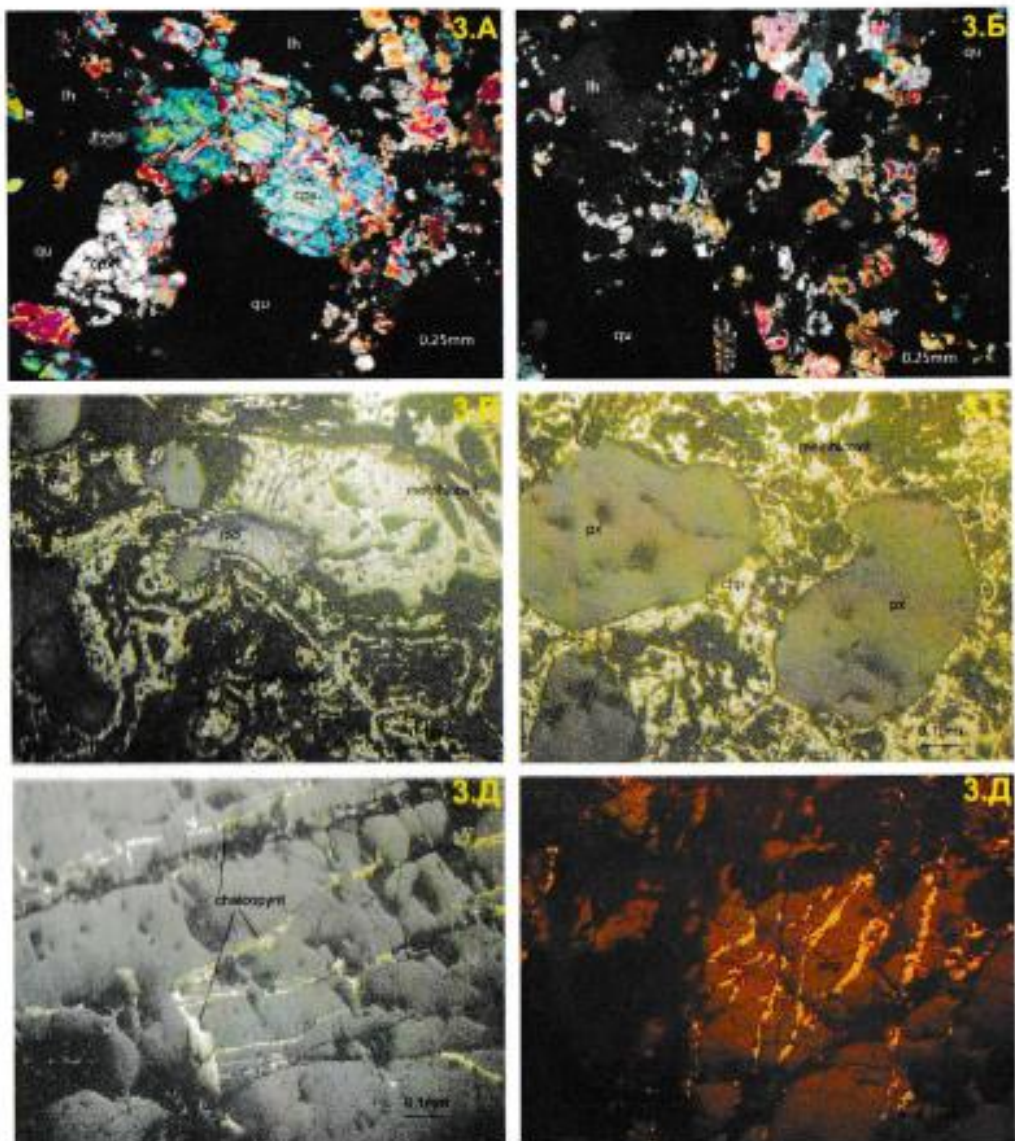


Рис. 3. А – цементная структура, рудный минерал (qui) выполняет цемент подобленного пироксена (px), lh – пустота; Б – зерна катаклизированного пироксена; В – листочек молибденита в мельниковите; Г – халькопирит в виде мелких включений 0,01+0,5 мм в мельниковите; Д – халькопирит в виде коротких прожилков, заполняющих трещины, и по краям нерудных минералов

за. В целом аномалии радиоактивности сосредоточены западнее медно-рудных зон, которые к тому же имеют северо-восточную ориентацию. Надо отметить, что медная и урановая аномалии частично перекрываются в плане.

Максимальная мощность экспозиционной дозы радиоактивного излучения составила 3000 мкР/ч (см. рис. 2, А). Она приурочена к микро-

брекчированному плагиоклаз-пироксеновому скарну, содержащему медную минерализацию (рис. 3, А, Б).

Результаты минералогического анализа радиоактивных проб меди показали следующий минеральный состав руды (см. рис. 3, В–Д).

Мельниковит ($\text{Fe}^{2+}\text{Fe}^{3+}\text{S}^4$) является наиболее распространенным. Его колломорфные выделения окружают и связывают нерудные минералы (см. рис. 3, В, Г).

Халькопирит (CuFeS_2) в виде мелких частиц размером 0,01+0,5 мм, часто неравномерно распределен в мельниковите. Существуют также маленькие короткие прожилки, заполняющие трещины в нерудных минералах (см. рис. 3, В–Д).

Молибденит (MoS_2) встречается в виде небольших листочек, расположенных в мельниковите. Размер выделений примерно (0,1+0,15) x (0,4+0,7) мм (см. рис. 3, В)

Некоторое количество пирротина ($\text{Fe}_{1-x}\text{S}_n$) небольшого размера, порядка 0,01 мм, находится в халькопирите.

Медная минерализация в большинстве случаев встречается в зонах катаклаза, затрагивающих диопсидовые мраморы, кварц-диопсидовые породы, диопсидовые скарны и кальцифиры, которые отнесены к метакарбонатным и метаскарновым образованиям. Они встречаются в tremolитовых и кристаллических сланцах комплекса Хамдык.

Золотомедная минерализация локализована в тектонических брекчиях, которые осложнены поперечными кварцевыми жилами. Она представлена азуритом и малахитом [3].

Выявленные проявления урана и меди в целом тяготеют к восточным контактам триасовых гранитов, где распространены скарны [3]. Собственно медносульфидная и урановая минерализации являются вторичными по отношению к скарнам и выполняют цемент тектонических брекчий крутопадающих нарушений.

Список литературы:

1. Чан Дуан. Отчет об оценке минеральных ресурсов меди в районе Кон Ра / Фонды Вьетнамского Министерства природных ресурсов и экологии. – Ханой, 2019.
2. До М.Ф., Нгуен З.Х. Тектоническое положение Cu, U, Au минерализации района Кон Ра (Центральный Вьетнам) // Сборник тезисов докладов I Молодежной конференции ЦНИГРИ. – М., 2020. – С. 82–85.
3. До М.Ф., Игнатов П.А., Фан Т.Х., Нгуен З.Х., Чан Д. Минералого-геохимические характеристики Cu-U-Au-проявлений в районе Кон Ра провинции Контум, Вьетнам // Известия высших учебных заведений.

УДК 553.41/.82.04 (043.2)

ISBN 978-5-85657-033-4

Минерально-сырьевая база алмазов, благородных и цветных металлов – от прогноза к добыче. Сборник тезисов докладов II Молодежной научно-образовательной конференции ЦНИГРИ. (17–19 февраля 2021 г., Москва, ФГБУ «ЦНИГРИ»). М. : ЦНИГРИ. 2021. 166 с.

В сборник включены 40 докладов, представленных на II Молодежной научно-образовательной конференции ЦНИГРИ «Минерально-сырьевая база алмазов, благородных и цветных металлов – от прогноза к добыче». Цель конференции – развитие научного и творческого потенциала молодых ученых и специалистов в области геологии, формирование кадров научно-прикладного направления. В тезисах докладов представлены материалы по следующим темам: металлогения, минерагения и рудогенез; прогноз, поиски, оценка и разведка месторождений полезных ископаемых; разработка прогнозно-поисковых и геолого-генетических моделей месторождений твердых полезных ископаемых; методы изучения вещественного состава пород и руд; физико-химические условия минералообразования; геолого-экономическая оценка месторождений полезных ископаемых и участков недр; использование геоинформационных технологий и пространственных данных в геологической отрасли; современные технологии добычи и переработки минерального сырья. Материалы конференции ориентированы на молодых ученых и специалистов по различным направлениям наук о Земле.

Научно-техническое издание

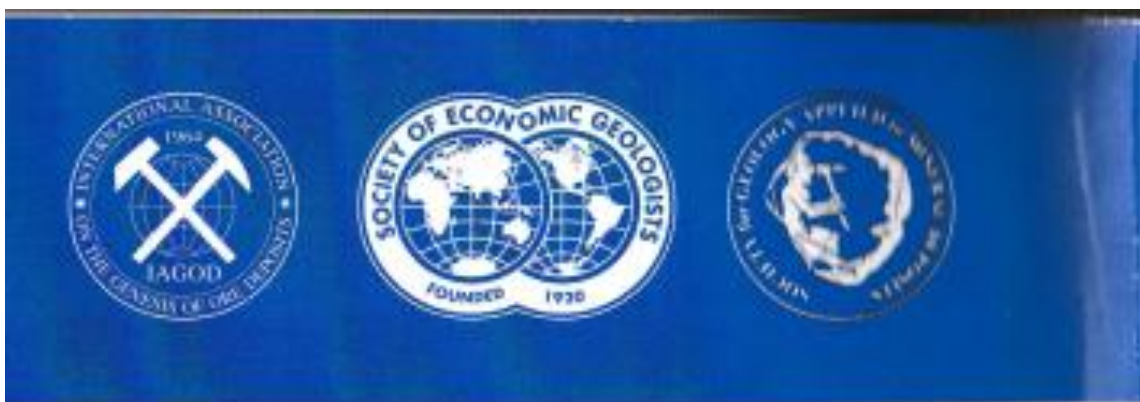
Тезисы докладов не рецензировались. Публикуются в авторской редакции.

Сдано в набор 04.02.2021. Подписано в печать 15.02.2021.

Печать цифровая. Тираж 50 экз.

Полиграфическая база ФГБУ «ЦНИГРИ».

117545, Варшавское шоссе, дом 129, корп. 1



© ФГБУ «ЦНИГРИ», 2021



ТЕМАТИКА КОНФЕРЕНЦИИ

- ❖ Металлогения, минерагения и рудогенез
- ❖ Прогноз, поиски, оценка и разведка месторождений
- ❖ Разработка прогнозно-поисковых и геологогенетических моделей месторождений
- ❖ Методы изучения вещественного состава пород и руд
- ❖ Физико-химические условия минералообразования
- ❖ Геолого-экономическая оценка месторождений и участков недр
- ❖ Использование геоинформационных технологий и пространственных данных в геологической отрасли
- ❖ Современные технологии добычи и переработки минерального сырья